

# 第三章 连续时间信号与系统的频域分析

2025年5月5日 18:47

三角形式傅里叶级数:  $f(t) = \frac{a_0}{2} + \sum_{n=1}^{\infty} (a_n \cdot \cos n\omega_1 t + b_n \cdot \sin n\omega_1 t)$

$$a_n = \frac{2}{T_1} \int_{-\frac{T_1}{2}}^{\frac{T_1}{2}} f(t) \cdot \cos(n\omega_1 t) dt$$

$$b_n = \frac{2}{T_1} \int_{-\frac{T_1}{2}}^{\frac{T_1}{2}} f(t) \cdot \sin(n\omega_1 t) dt$$

纯余弦形式三角傅里叶级数:  $f(t) = \frac{A_0}{2} + \sum_{n=1}^{\infty} A_n \cdot \cos(n\omega_1 t + \phi_n)$

幅度:  $A_n = \sqrt{a_n^2 + b_n^2}$ , 相位:  $\phi_n = -\tan^{-1} \frac{b_n}{a_n}$

$A_n \sim \omega$  曲线为幅度频谱图, 为  $n\omega_1$  偶函数

$\phi_n \sim \omega$  曲线为相位频谱图, 为  $n\omega_1$  奇函数

指数形式傅里叶级数:  $f(t) = \sum_{n=-\infty}^{+\infty} C_n \cdot e^{jn\omega_1 t}$

幅度:  $|C_n|$ , 相位:  $e^{j\phi_n}$

$|C_n| \sim \omega$  曲线为幅度频谱图, 为  $n\omega_1$  偶函数

$\phi_n \sim \omega$  曲线为相位频谱图, 为  $n\omega_1$  奇函数

三角形式和指数形式傅里叶级数的关系:  $C_n = \frac{1}{2} (a_n - jb_n)$

$C_n$  即为频谱函数

偶谐函数:  $f(t) = f\left(t \pm \frac{T_1}{2}\right)$

奇谐函数:  $f(t) = -f\left(t \pm \frac{T_1}{2}\right)$

周期信号频谱由间隔  $\omega_1$  的谱线组成

频谱密度:  $\frac{C_n}{\omega_1}$

傅里叶变换与傅里叶级数的关系:  $C_n = \frac{1}{T} \cdot F_0(\omega)|_{\omega=n\omega_1}$

对非周期信号:  $F(\omega) = |F(\omega)| \cdot e^{j\phi(\omega)}$

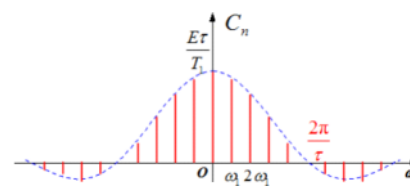
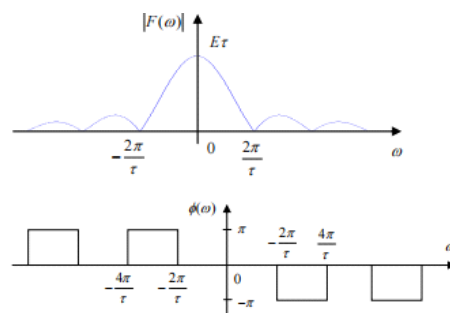
$|F(\omega)| \sim \omega$  曲线为幅度频谱图, 为  $\omega_1$  偶函数

$\phi_w \sim \omega$  曲线为相位频谱图, 为  $\omega_1$  奇函数

典型非周期连续时间信号的频谱:

矩形脉冲信号  $E G_\tau(t)$ :

$$|F(\omega)| = E\tau \left| \text{Sa} \frac{\omega\tau}{2} \right|$$
$$\phi(\omega) = \begin{cases} 0, & \frac{4n\pi}{\tau} < |\omega| < \frac{2(2n+1)\pi}{\tau} \\ \pi, & \frac{2(2n+1)\pi}{\tau} < |\omega| < \frac{4(n+1)\pi}{\tau} \end{cases}$$



单边指数信号  $e^{-at}u(t)$ :

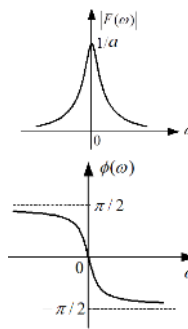
$$|F(\omega)| = \frac{1}{\sqrt{a^2 + \omega^2}}$$



单边指数信号  $e^{-at}u(t)$ :

$$|F(\omega)| = \frac{1}{\sqrt{a^2 + \omega^2}}$$

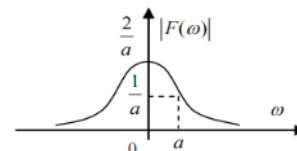
$$\phi(\omega) = -\tan^{-1}\left(\frac{\omega}{a}\right)$$



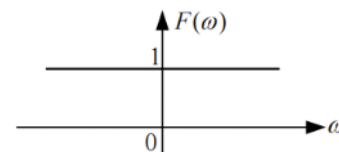
双边指数信号  $e^{-a|t|}$ :

$$|F(\omega)| = \frac{2a}{a^2 + \omega^2}$$

$$\phi(\omega) = 0$$



单位冲激信号  $\delta(t)$ :

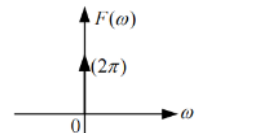


直流信号:

冲激函数与常数(直流)在时域和频域是对偶的, 即:

如果时域为冲激信号, 那么频谱函数为常数;

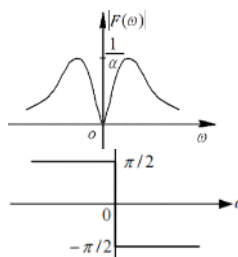
如果时域为直流(常数)信号, 那么在频域的频谱函数必为冲激函数。



符号函数信号:

$$|F(\omega)| = \frac{2|\omega|}{a^2 + \omega^2}$$

$$\phi(\omega) = \begin{cases} -\frac{\pi}{2}, & \omega > 0 \\ +\frac{\pi}{2}, & \omega < 0 \end{cases}$$



典型非周期连续时间信号的频谱:

$$EG_{\tau}(t) \longleftrightarrow E\tau \text{Sa}\left(\frac{\omega\tau}{2}\right)$$

$$e^{-at}u(t) \ (a>0) \longleftrightarrow \frac{1}{a+j\omega}$$

$$\delta(t) \longleftrightarrow 1$$

$$\text{sgn}(t) \longleftrightarrow \frac{2}{j\omega}$$

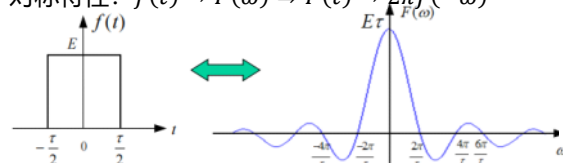
$$u(t) \longleftrightarrow \pi\delta(\omega) + \frac{1}{j\omega}$$

$$1 \longleftrightarrow 2\pi\delta(\omega)$$

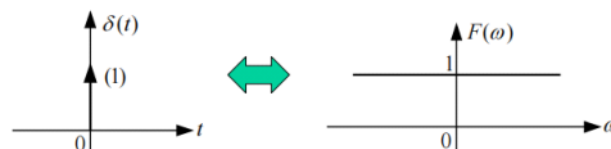
傅里叶变换的基本性质:

线性特性

对称特性:  $f(t) \rightarrow F(\omega) \Rightarrow F(t) \rightarrow 2\pi f(-\omega)$



尺度特性:  $f(t) \rightarrow F(\omega) \Rightarrow f(at) \rightarrow \frac{1}{|a|} F\left(\frac{\omega}{a}\right)$



时移特性:  $f(t) \rightarrow F(\omega) \Rightarrow f(t+t_0) \rightarrow F(\omega) \cdot e^{j\omega t_0}$

频移特性:  $f(t) \rightarrow F(\omega) \Rightarrow f(t) \cdot e^{\pm j\omega_0 t} \rightarrow F(\omega \mp \omega_0)$

时域微分特性:  $f(t) \rightarrow F(\omega) \Rightarrow \frac{d^n f(t)}{dt^n} \rightarrow (j\omega)^n \cdot F(\omega)$

积分特性:  $f(t) \rightarrow F(\omega) \Rightarrow \int_{-\infty}^t f(\tau) d\tau \rightarrow \frac{1}{j\omega} F(\omega) + \pi \cdot F(0) \cdot \delta(\omega)$

频域微分特性:  $f(t) \rightarrow F(\omega) \Rightarrow (-jt)^n \cdot f(t) \rightarrow \frac{d^n F(\omega)}{d\omega^n}$

时域卷积特性:  $f_1(t) \rightarrow F_1(\omega), f_2(t) \rightarrow F_2(\omega) \Rightarrow f_1(t) * f_2(t) \rightarrow F_1(\omega) \cdot F_2(\omega)$

频域卷积特性:  $f_1(t) \rightarrow F_1(\omega), f_2(t) \rightarrow F_2(\omega) \Rightarrow f_1(t) \cdot f_2(t) \rightarrow \frac{1}{2\pi} [F_1(\omega) * F_2(\omega)]$

系统函数  $H(\omega)$ : 系统冲激响应  $h(t)$  的傅里叶变换,  $H(\omega) = \frac{R_{zs}(\omega)}{E(\omega)}$ ,  $H(\omega) = |H(\omega)| \cdot e^{j\phi(\omega)}$ ,  $|H(\omega)|$  为幅频特性,  $e^{j\phi(\omega)}$  为相频特性  
 $|H(\omega)|$  是  $H(\omega)$  的模 (幅值),  $|H(\omega)| = \sqrt{\text{Re}\{H(\omega)\}^2 + \text{Im}\{H(\omega)\}^2}$

系统频域分析:

① 傅里叶变换分析:

$$\begin{array}{ccccc} e(t) & * & h(t) & = & r_{zs}(t) \\ \downarrow & & \downarrow & & \uparrow \\ E(\omega) & \times & H(\omega) & = & R_{zs}(\omega) \end{array}$$

② 指数傅里叶级数分析:

$$\sum_{n=-\infty}^{\infty} C_n \cdot e^{jn\omega_1 t} = e(t) * h(t) = r_{zs}(t) = \sum_{n=-\infty}^{\infty} R_n \cdot e^{jn\omega_1 t}$$

$$\begin{array}{ccccc} \downarrow & & \downarrow & & \uparrow \\ C_n & \times & H(n\omega_1) & = & R_n \end{array}$$

③ 三角傅里叶级数分析:

$$e(t) = \frac{A_0}{2} + \sum_{n=1}^{\infty} A_n \cos(n\omega_1 t + \theta_n), \quad r_{zs}(t) = \frac{A_0}{2} H(0) + \sum_{n=1}^{\infty} A_n |H(n\omega_1)| \cos(n\omega_1 t + \theta_n + \phi(n\omega_1))$$

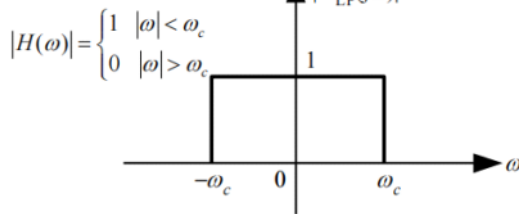
无失真传输: 系统的响应与激励信号相比, 只是幅度大小和出现的时间不同, 而无波形上的变化

即: 响应  $r(t)$  和激励  $e(t)$  的波形相同, 仅在时间上滞后  $t_0$ , 幅度上有系数  $K$  倍的变化

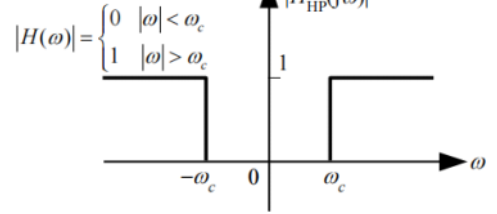
信号通过线性系统不产生失真  $\Leftrightarrow$  系统的幅频特性  $|H(\omega)|$  是一个常数, 相位特性  $\phi(\omega)$  是一个通过原点的直线

理想滤波器:

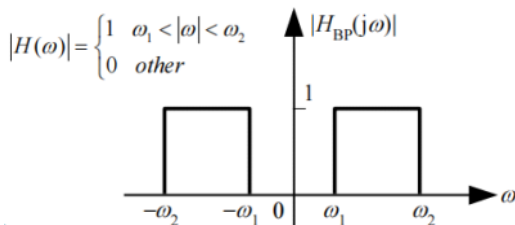
理想低通: 非因果系统



理想高通:



理想带通:



理想带阻:

